

## بررسی عددی و تجربی اثر زاویه سطوح کنترلی بر نیروی پسا یک ربات هوشمند زیرآبی

احسان جوانمرد<sup>۱</sup>, شهریار منصورزاده<sup>۲\*</sup>, احمد رضا پیشوار<sup>۳</sup>

۱- کارشناس ارشد، مهندسی مکانیک، دانشگاه صنعتی اصفهان، اصفهان

۲- استادیار، مهندسی مکانیک، دانشگاه صنعتی اصفهان، اصفهان

۳- استاد، مهندسی مکانیک، دانشگاه صنعتی اصفهان، اصفهان

\* اصفهان، صندوق پستی 8415683111 shahriar@cc.iut.ac.ir

### چکیده

هدف پژوهش حاضر بررسی اثر تغییر زاویه سطوح کنترلی افقی (سطوح کنترلی استرن) بر میزان نیروی درگ وارد بر ربات هوشمند زیرآبی پژوهشکده علوم و فناوری زیر دریا به روش تجربی و شبیه‌سازی عددی و استخراج ضربه هیدرودینامیکی مربوط به آن است. در بخش تجربی پژوهش، مدل یک به یک این ربات درون حوضجه کشش دانشگاه صنعتی اصفهان تحت کشش با زوایای حمله مختلف برای سطوح کنترلی افقی قرار می‌گیرد. در این آزمون‌ها، سرعت کشش ربات در محدوده سرعت ۱ تا ۳ متر بر ثانیه و اتصال مدل به ارایه کشش توسعه استروت‌هایی با مقاطع هیدروفولی انجام شده است. در ادامه، نیرو و ضربه درگ وارد بر یک سطح کنترلی این ربات در سرعت‌های کشش مختلف و نیز زوایای مختلف استرن به روش تجربی استخراج شده‌اند. در بخش عددی پژوهش، آزمون‌های تجربی صورت گرفته در بخش آزمایشگاهی توسط کد تجاری سی اف ایکس در سرعت ۱/۵ متر بر ثانیه شبیه‌سازی و نتایج حاصل از آن با نتایج تجربی مقایسه شده‌اند. در این مقاله نشان داد شده است که تغییرات نیروی پسا و ضربه نیروی پسا ربات نسبت به زاویه استرن به صورت یک منحنی درجه دوم قابل تخمین است و ضربه هیدرودینامیکی مرتبط با آن، به دو روش تجربی و عددی استخراج شده است. تطابق خوب نتایج حاصل از دو روش نشان داد که میتوان روش‌های عددی را در محدوده سرعت‌های مورد بررسی جایگزین روش‌های بر هزینه تجربی کرد. نتایج حاصله نشان داد که در سرعت ۱/۵ متر بر ثانیه با افزایش زاویه سطوح کنترلی به ۴۵ درجه ضربه درگ ۱۷۴ درصد افزایش می‌یابد.

### اطلاعات مقاله

مقاله پژوهشی کامل

دربافت: ۲۶ مرداد ۱۳۹۳

پذیرش: ۰۶ مهر ۱۳۹۳

ارائه در سایت: ۲۴ آبان ۱۳۹۳

کلید واژگان:

ربات هوشمند زیرآبی

سطوح کنترلی

دینامیک سیالات تجربی

دینامیک سیالات محاسباتی

حوضجه کشش

## A Numerical and Experimental Investigation of Effect of Control Surface Angle on an Autonomous Underwater Vehicle Drag

Ehsan Javanmard<sup>1</sup>, Shahriar Mansoorzadeh<sup>2\*</sup>, Ahmad Reza Pishevar<sup>3</sup>

1- Subsea Science & Technology Center, Isfahan University of Technology, Isfahan, Iran.

2- Subsea Science & Technology Center, Isfahan University of Technology, Isfahan, Iran.

3- Department of Mechanical Engineering, Isfahan University of Technology, Isfahan, Iran.

\* P.O.B. 8415683111 Isfahan, Iran, shahriar@cc.iut.ac.ir.

### ARTICLE INFORMATION

Original Research Paper

Received 17 August 2014

Accepted 28 September 2014

Available Online 15 November 2014

#### Keywords:

Autonomous Underwater Vehicle  
Control Surfaces  
Computational Fluids Dynamic  
Experimental Fluids Dynamic  
Towing Tank

### ABSTRACT

In this paper the effect of horizontal control surfaces (stern fins) angle on the drag force of the Subsea R&D Autonomous Underwater Vehicle (AUV) is investigated using both experimental fluids dynamic and numerical fluids dynamic methods. The experiments were conducted in the Subsea R&D towing tank using a 1:1 scale model of the AUV at various stern angles, and in a speed range of 1 to 3 m/s. A pair of NACA shaped struts was used to connect the AUV to the carriage dynamometer. The stern drag force was experimentally calculated at various stern angles and towing speeds. The results obtained by experimental method were compared with those obtained numerically by commercial computational fluid dynamics CFX code. Both experimental and numerical results showed that as the stern angle increases, the total AUV drag force increases, and the drag force coefficient can be estimated by a second order polynomial. The results showed that, at a speed of 1.5m/s, as the stern angle increases to 45 degrees, the drag coefficient increases up to 174 percent. It was also observed that at a specific stern angle, the drag force due to stern fin increases with the AUV speed. Variation of axial force as a function of stern angle was determined by using both experimental and numerical methods. The results obtained by both methods showed that the expensive experiments conducted in towing tanks can be replaced by numerical simulations.

### ۱- مقدمه

شناورهای زیر سطحی با توجه به قابلیت‌ها و روش استفاده از آنها تقسیم شدنی می‌شوند. یکی از راههای دسته بندی آنها قراردادن آنها در یکی از دو گروه عمده سیستم‌های باسرنشین<sup>۱</sup> و بدون سرنشین<sup>۲</sup> می‌باشد.

از جمله شناورهای بدون سرنشین، ربات هوشمند زیر آبی<sup>۳</sup> می‌باشد که

به صورت یک وسیله مستقل و هوشمند عمل می‌کند. این ربات‌ها قادر به پیمودن یک مسیر از پیش تعیین شده بوده و در صورت مواجهه با شرایط مختلف از جمله موافع، قدرت تصمیم گیری دارند. بطور کلی می‌توان کاربرد این

3- Autonomous Underwater Vehicle

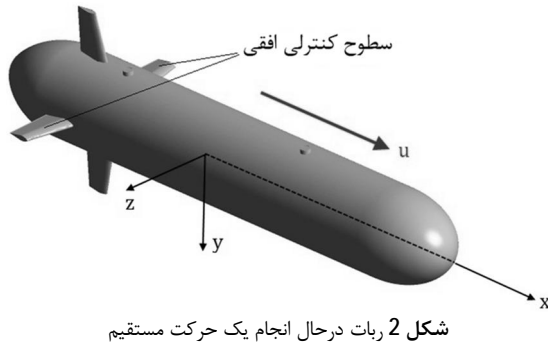
1- Manned

2- Unmanned

Please cite this article using:

E.Javanmard, Sh. Mansoorzadeh, A.R. Pishevar, A Numerical and Experimental Investigation of Effect of Control Surface Angle on an Autonomous Underwater Vehicle Drag, *Modares Mechanical Engineering*, Vol. 14, No. 16, pp. 358-366, 2015 (In Persian)

برای ارجاع به این مقاله از عبارت ذیل استفاده نمایید:



شکل 2 ربات در حال انجام یک حرکت مستقیم

بنابراین طبق رابطه تجربی (1) یک نیروی پسا به صورت محوری به آن وارد می‌شود که با نماد  $X$  نشان داده می‌شود [5].

$$(1) X = -\left(\frac{1}{2} \rho c_d A\right) u | u |$$

که در آن  $\rho$  دانسیته سیال،  $c_d$  ضریب پسا محوری ربات و  $A$  سطح مقطع عرضی آن است. ضریب هیدرودینامیکی تشریح کننده این نیرو که با استفاده از مفهوم مشتقات هیدرودینامیکی به صورت  $X_{u|u}$  نشان داده می‌شود، به صورتی که در رابطه (2) ارائه شده است، قابل تعریف می‌باشد.

$$(2) X_{u|u} = \frac{\partial}{\partial |u|} \frac{\partial X}{\partial u} = -\left(\frac{1}{2} \rho c_d A\right)$$

بنابراین می‌توان رابطه (1) را به صورت  $X_{u|u} u | u | = X$  نمایش داد. ضریب هیدرودینامیکی  $X_{u|u}$  درواقع شناسه نیروی محوری وارد بر ربات در طی این حرکت خواهد بود که با دراختیار داشتن آن می‌توان نیروی محوری وارد بر ربات را در هر سرعت دلخواه محاسبه کرد. با تعیین این مثال به یک ربات با شش درجه آزادی حرکت، می‌توان نیروها و گشاورهای وارد شده در جهت‌های مختلف را با استفاده از مفهوم مشتقات هیدرودینامیکی و به صورت ضرائب هیدرودینامیکی بیان کرد [6].

### 3- روش‌های استخراج ضرائب هیدرودینامیکی و پژوهش‌های انجام شده در این زمینه

روش‌های برآورد ضرائب هیدرودینامیکی شامل انجام تست‌های آزمایشگاهی درون حوضچه کشش<sup>1</sup>، استفاده از دینامیک سیالات محاسباتی جهت تحلیل جریان پیرامون یک گشاور زیرسطحی و استفاده از روابط نیمه تجربی است. در روش آزمایشگاهی بایستی متناسب با ضریب هیدرودینامیکی مجھول، حرکتی را در حوضچه کشش به گشاور اعمال کرد.

آزمایش‌های ساده از قبیل تست‌های استاتیکی که در آن گشاور بدون انجام مانور، درون حوضچه حرکت داده می‌شود، به مکانیزم پیچیده‌ای نیاز ندارد و گشاور در وضعیت‌های مختلف (با زاویه حمله، با زاویه انحراف و ...) از طریق ارایه کشش<sup>2</sup> حرکت داده می‌شود. استخراج برخی از ضرائب هیدرودینامیکی به روش آزمایشگاهی مستلزم استفاده از مکانیزم‌هایی است که بتوانند حرکات و مانورهای مورد نیاز را به گشاور اعمال کنند. تست‌های بازوی چرخان<sup>3</sup> و تست‌های حرکت صفحه‌ای<sup>4</sup> از مهمترین این آزمون‌ها می‌باشند. مکانیزم مورد استفاده در آزمون‌های حرکت صفحه‌ای بگونه‌ای است که ضمن کشش گشاور در طول حوضچه کشش، مانورها و حرکاتی را در یکی از صفحات افقی و یا قائم به گشاور اعمال می‌کند. مراجع [7-13] نمونه‌هایی از پژوهش‌های تجربی است که در هریک متناسب با ضریب هیدرودینامیکی مورد نیاز، از یکی از روش‌های تجربی جهت استخراج آن استفاده شده است.

1- Towing tank

2- Carriage

3- Rotating arm

4- Planar motion

ربات‌ها را در سه بخش فراساحلی، نظامی و تحقیقاتی دسته بندی نمود. این ربات‌ها امروزه در حوزه‌های مختلفی از قبیل بازرسی، اکتشاف، تعمیر و نگهداری، عملیات نجات، نظامی، محیط زیست و بیولوژیک کاربرد دارند [4-1]. در شکل 1 تصویری از ربات هوشمند زیرآبی ساخته شده در پژوهشکده علوم و فناوری زیردریا دانشگاه صنعتی اصفهان نشان داده شده است. در جدول 1 نیز مشخصات فنی این ربات ارائه شده است. در مسیر طراحی گشاورهای زیر سطحی لازم است که مقادیر نیروها و گشاورهای وارد شده از سوی سیال بر گشاور مشخص باشد. تعیین این نیروها امکان برآورد قدرت پیشran مورد نیاز و نیز بررسی پایداری و قابلیت کنترل و مانور پذیری گشاور را میسر می‌سازد. دینامیک حرکت گشاورهای زیر سطحی توسط مدل‌های ریاضی دقیق مورد بررسی قرار می‌گیرد. این مدل ریاضی که به مدل دینامیکی وسیله مشهور است شامل تمامی نیروها و گشاورهای هیدرودینامیکی است که در شرایط واقعی به گشاور وارد می‌شود. در مباحث هیدرودینامیکی این نیروها به صورت ضرائب هیدرودینامیکی بیان می‌شوند.

### 2- ضرائب هیدرودینامیکی

از آنچنانی که نیروها و گشاورهای وارد بر یک گشاور زیر سطحی تابعی از سرعت بدن، نوع حرکت و مانور وسیله و نیز شکل هندسی بدن هستند، معمولاً دارای مقادیر ثابتی نمی‌باشند و به همین دلیل در مباحث هیدرودینامیکی این نیروها به صورت ضرائب هیدرودینامیکی بیان می‌شوند و تعیین این ضرائب یکی از اولین و مهمترین کارهای طراحان است. اما منظور از ضرائب هیدرودینامیکی چیست؟ تعريف یک ضریب هیدرودینامیکی با استفاده از مفهوم مشتقات هیدرودینامیکی انجام می‌شود. برای روشن شدن موضوع فرض می‌شود که یک ربات هوشمند زیرآبی مطابق با شکل 2 با سرعت ثابت  $u$  در حال حرکت مستقیم باشد.

جدول 1 مشخصات فنی ربات هوشمند زیرآبی

مشخصه	توضیحات
شكل	از در مانند
1/45	(m)
0/23	(m)
45	(kg)
20	بیشینه عمق عملیات (m)
2/5	بیشینه زمان عملیات (hr)
NACA0015	سطوح کنترلی
1/5	بیشینه سرعت افقی ( $m.s^{-1}$ )



شکل 1 ربات هوشمند زیرآبی دانشگاه صنعتی اصفهان

نیروهای واردہ بر مدل بدست می‌آید. در پژوهش حاضر از دینامومتر یک درجه آزادی استفاده شده است که موقعیت آن در شکل ۴ نشان داده شده است.

جدول ۲ شرایط مدنظر برای انجام تست‌های تجربی

سرعت ربات درون حوضچه کشش(متر بر ثانیه) زاویه سطوح کنترلی افقی (درجه)	45, 30, 25, 20, 15, 10, 5, 0	3, 2.5, 2, 1/75, 1/5, 1/25, 1.1



شکل ۳ نمایی از یک سطح کنترلی افقی با زاویه حمله (زاویه استرن)



شکل ۴ موقعیت دینامومتر (۱)، لودسل (۲)، استروت‌ها (۳) و مدل (۴)



شکل ۵ استروت‌ها با مقطع هیدروفویل شکل



شکل ۶ حوضچه کشش دانشگاه صنعتی اصفهان

از روش‌های عددی معمولاً به علت هزینه‌های بالای تجهیزات آزمایشگاهی، جهت شبیه سازی آزمون‌های تجربی و یا اعتبارسنجی آنها استفاده می‌شود [8, 13-17]. در این حوزه، با بهره گیری از دینامیک سیالات محاسباتی، میدان جریان پیرامون ربات در آزمون‌های مختلف شبیه سازی می‌شود. کاربرد روابط نیمه تجربی در استخراج ضرائب هیدرودینامیکی، صرفاً به هندسه‌های بسیار ساده محدود می‌شود و در فرآیند طراحی یک ربات با هندسه پیچیده جواب‌های غیر منطقی خواهد داشت. به همین علت در تمامی تحقیقات صورت گرفته در این زمینه، نتایج حاصله با یکی از روش‌های عددی و یا تجربی اعتبارسنجی شده است [19, 18].

در هیچ یک از تحقیقات انجام شده در مراجع بالا، اثر تغییرات زاویه سطوح کنترلی بر میزان نیروی پسای ربات در نظر گرفته نشده است و در ارتباط با سطوح کنترلی، صرفاً کارآیی این سطوح در تولید نیروی برآ (در مانورهای مربوط به تغییر عمق) و نیروی جانبی (در مانورهای مربوط به تغییر جهت) مورد بررسی قرار گرفته است. حال آنکه با تغییر زاویه سطوح کنترلی جهت انجام یک مانور مشخص در بستر دریا، نیروی پسا نیز دچار تغییراتی می‌شود که نادیده گرفتن این تغییرات در فرآیند طراحی یک ربات منجر به پایین آمدن دقت مدل دینامیکی و عدم کارآیی آن در کنترل هوشمند ربات خواهد شد ضمن آنکه بدون در نظر گرفتن این اثرات، امکان برآورد دقیق نیروی پیشران مورد نیاز وجود نداشته و این باعث عدم تخمین واقعی مصرف انرژی و اختیاب نامناسب باتری ها در ربات خواهد شد.

پژوهش حاضر شامل تحلیل‌های آزمایشگاهی و عددی برروی یک نمونه ربات زیرآبی تحقیقاتی به منظور بررسی میزان تاثیر زاویه سطوح کنترلی بر نیروی پسای وارد بر ربات است. این اثرات به صورت یک ضریب هیدرودینامیکی معرفی خواهد شد تا امکان اضافه کردن آن به مدل دینامیکی ربات وجود داشته باشد.

#### 4- آماده سازی تجهیزات آزمایشگاهی و انجام تست‌های تجربی

در بخش تجربی پژوهش حاضر یک مجموعه تست آزمایشگاهی با شرایط مندرج در جدول ۲ در حوضچه کشش دانشگاه صنعتی اصفهان برروی مدل یک به یک ربات انجام خواهد شد. به طوری که در جدول ۲ مشاهده می‌شود آزمون‌های تجربی در محدوده مناسبی از سرعت ربات انجام می‌شوند تا بتوان نقش سرعت ربات را بر نتایج حاصله مورد بررسی قرار داد. در شکل ۳ تصویری از مدل یک به یک ربات زیرآبی با زاویه حمله (استرن) نمایش داده شده است. مدل از جنس فایبر گلاس بوده و جرم آن بگونه‌ای در نظر گرفته شده است که به هنگام قرارگیری درون حوضچه کشش دارای بیانسی تقریباً صفر باشد. جهت نصب مدل ساخته شده بر روی ارابه کشش از واسطه‌هایی موسم به استروت<sup>2</sup> استفاده می‌شود. استروت‌ها در واقع واسطه بین مدل و دینامومتر<sup>3</sup> هستند و در پژوهش حاضر از دو استروت به شکل هیدروفیل NACA0012 استفاده شده است. در شکل ۴ نمایی از نحوه اتصال مدل به ارابه کشش، در شکل ۵ تصویری از استروت‌ها، در شکل ۶ نمایی از حوضچه کشش دانشگاه صنعتی اصفهان و نهایتاً در شکل ۷ شماتیکی از حوضچه و تجهیزات مورد استفاده جهت انجام آزمایش نشان داده شده است. یکی از مهمترین تجهیزات مورد استفاده دینامومتر می‌باشد. نیروهای وارد شده به مدل در حین آزمایش از طریق لودسل<sup>4</sup> تعییه شده برروی دینامومتر دریافت و درنتیجه آن، یک اختلاف پتانسیل الکتریکی در لودسل حاصل می‌شود که با توجه به کالیبراسیون انجام شده برروی آن، میزان

1- Stern

2- Strut

3- Dynamometer

4- Load cell

علت حضور حرکت‌های گردابی‌ای، بکارگیری این معادلات و حل آنها بطور مستقیم بسیار مشکل است. به همین دلیل معمولاً از شکل متوسط‌گیری شده معادلات ناویر- استوکس (RANS) استفاده می‌شود. این معادلات در روابط (3) و (4) نشان داده شده است [20].

$$\frac{\partial \bar{U}_i}{\partial x_i} = 0 \quad (3)$$

$$\frac{\partial \bar{U}_i}{\partial t} + \frac{\partial \bar{U}_i \bar{U}_j}{\partial x_j} = -\frac{1}{\rho} \frac{\partial p}{\partial x_i} + \frac{\partial}{\partial x_j} \left\{ v \left( \frac{\partial \bar{U}_i}{\partial x_j} + \frac{\partial \bar{U}_j}{\partial x_i} \right) \right\} - \frac{\partial \bar{U}_i \bar{U}_j}{\partial x_j} + f_i \quad (4)$$

در این فرم از معادلات عبارتی تحت عنوان تنش‌های رینولدز ( $\bar{U}_i \bar{U}_j$ ) به معادلات اضافه می‌شود که برای بسته شدن معادلات و حل آنها لازم است که آنها را مدل سازی نمود. در کار حاضر برای مدل سازی تنش‌های رینولدز از مدل آشفتگی انتقال تنش‌های رینولدز<sup>3</sup> (SST) بعلت توانایی بالای این مدل در پیش‌بینی جدایش جریان استفاده می‌شود [21]. مدل آشفتگی انتقال تنش‌های رینولدز علاوه بر دربرداشتن اثرات رینولدز پایین، اثرات پراکندگی جریان پرشی را نیز شامل می‌پاشد [22]. با این کار معادلات متوسط گیری شده ناویر- استوکس در شرایط دائم، غیرقابل تراکم و بدون در نظر گرفتن مسئله دمایی، به منظور حل کردن میدان جریان کارتزین ( $U_i = u, v, w$ ) و فشار ( $p$ ) سیال توسط نرم افزار بکار گرفته شده است.

### 5-3- مشخصات میدان جریان و شرایط مرزی

به طوری که در شکل 9 نشان داده شده است میدان جریان برای شبیه‌سازی آزمون‌های کشش به صورت یک مکعب مستطیل در نظر گرفته می‌شود. ابعاد میدان حل باستی بگونه‌ای انتخاب شود که ضمن عدم تاثیر دیوارهای بر نتایج تحلیل عددی، حجم محاسبات سنگین نشود. بنابراین ابعاد پهیمه میدان حل به گونه‌ای انتخاب شده است که ضمن اراضی مرزهای بینهایت، هزینه‌های محاسباتی مسئله نیز در سطح پائینی قرار گیرد. لذا در کار حاضر شرط مرزی ورودی در فاصله‌ای معادل دو برابر طول وسیله در بالادست جریان قرار گرفته و از شرط سرعت ثابت باشد اغتشاش<sup>4</sup> ورودی به میزان 5 درصد برای آن استفاده شده است.

شرط مرزی خروجی در فاصله‌ای معادل 5 برابر طول وسیله در پایین دست جریان قرار گرفته و دارای شرط فشار متوسط استاتیکی است. با توجه به آن که دیوارهای جانبی به میزان کافی از بدنه ربات فاصله دارند، اثرات جریان در این نواحی بروی بدنه ربات ناچیز است و لذا دیوارهای جانبی دارای شرط لغزش آزاد<sup>5</sup> بوده و در فاصله‌ای در حدود 4 برابر قطر وسیله قرار گرفته‌اند. شرط عدم لغزش<sup>6</sup> نیز به عنوان شرط مرزی بدنه ربات در نظر گرفته شده است.

### 5-4- شبکه‌بندی میدان حل

برای ایجاد شبکه محاسباتی از مأذول ICEM نرم افزار استفاده شده است. ساختار شبکه از نوع بی‌سازمان بوده و ضمن استفاده از شبکه ریز در نواحی که دارای گرادیان شدید است نظیر بالکها و دماغه<sup>7</sup>، برای حل دقیقترا لایه مرزی پیرامون وسیله، روی دیوارهای وسیله مرز ایجاد شده است. مفهوم این کار افزایش چگالی شبکه در نزدیکی دیوارها است. در مناطق نزدیک دیوار، لایه مرزی سبب می‌شود که گرادیان‌های سرعت عمود بر صفحه زیاد باشد.

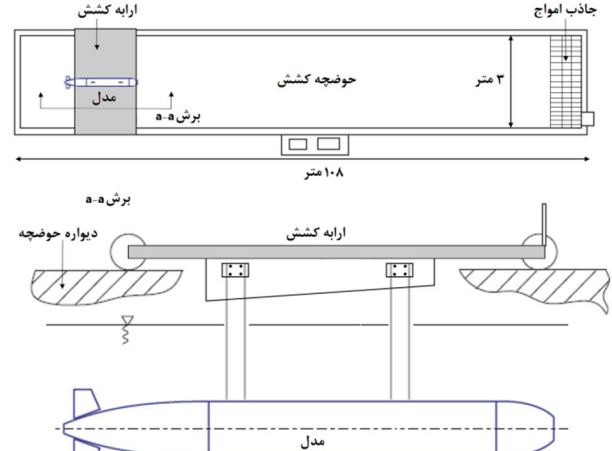
3- Shear Stress Transport

4- Turbulence Intensity

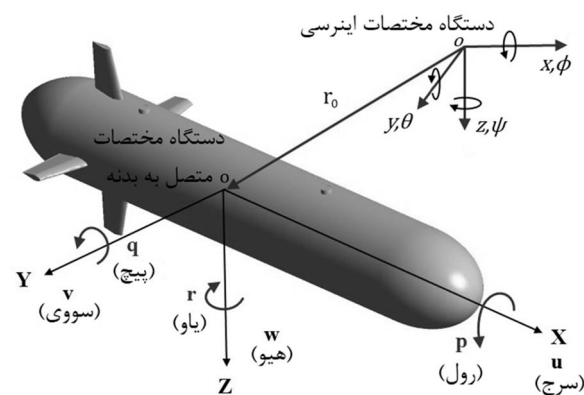
5- Free Slip

6- No Slip

7- Nose



شکل 7 شماتیکی از حوضجه کشش و تجهیزات مورد استفاده جهت آزمایش



شکل 8 نمایش دستگاه‌های مختصات



شکل 9 شماتیکی از شرایط مرزی در شبیه‌سازی‌های مورد نظر

## 5- آماده سازی بخش عددی

### 5-1- دستگاه مختصات

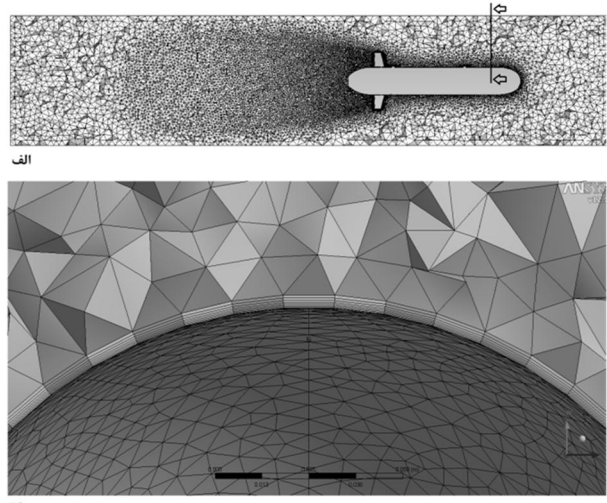
برای تحلیل هیدرودینامیکی هر وسیله زیر سطحی تعیین دستگاه مختصات مورد استفاده‌الزامی است. در این راستا دو دستگاه مختصات قبل تعریف است که عبارتند از دستگاه مختصات اینرسی<sup>1</sup> و دستگاه مختصات متصل به بدنه<sup>2</sup>. برای یک وسیله زیر سطحی با شش درجه آزادی حرکت، موقعیت این دو دستگاه در شکل 8 نمایش داده شده است. توجه شود که مبدأ دستگاه مختصات اینرسی یک نقطه مشخص از فضا است در حالیکه مبدأ دستگاه مختصات متصل به بدنه دقیقاً روی مرکز شناوری جسم قرار می‌گیرد. محورهای مختصات، مولفه‌های سرعت خطی و سرعت زاویه‌ای در شکل 9 نشان داده شده است.

### 5-2- معادلات حاکم بر میدان جریان

معادلات حاکم بر میدان جریان سیال بیانی از قوانین بقاء هستند و به معادلات ناویر- استوکس مشهورند. در تحلیل جریان‌های گذار و یا آشفته به

1- Earth-Fixed frame  
2- Body-Fixed frame

برش عرضی



شکل 10 شبکه محاسباتی: (الف) میدان حل، (ب) برش عرضی

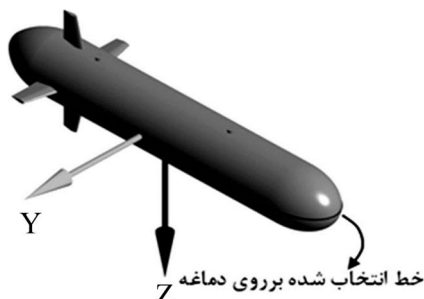
برای بررسی استقلال شبکه از پارامتر ضریب فشار که در رابطه (5) تعریف شده است استفاده می‌شود.

$$C_P = \frac{P - P_{ref}}{0.5\rho U_{ref}^2} \quad (5)$$

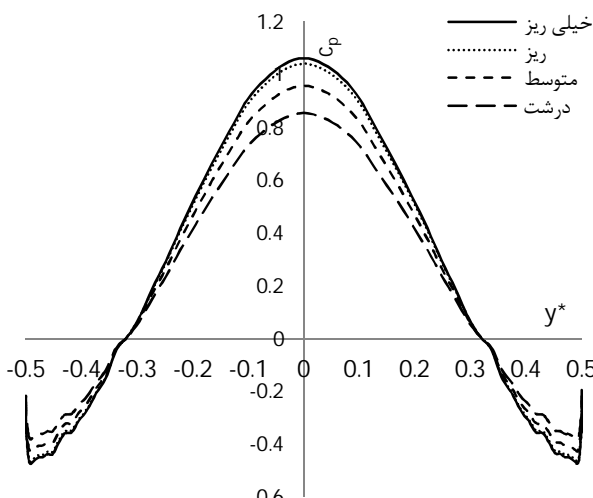
بدین منظور برای مقایسه نتایج در شبکه‌های مختلف، توزیع ضریب فشار بروی خط انتخاب شده بروی دماغه ربات ترسیم می‌شود. موقعیت این خط در شکل 11 نشان داده شده است. در شکل 12 توزیع ضریب فشار در طول خط مذکور نسبت به موقعیت عرضی بدون بعد که به صورت  $\frac{y}{D} = y^*$  تعریف می‌شود برای شبکه‌های مختلف نمایش داده است.

جدول 3 مشخصات چهار شبکه محاسباتی جهت مطالعه شبکه

	تعداد گره	نوع شبکه	تعداد المان
1533339	350566	شبکه درشت	
2138705	463269	شبکه متوسط	
3837174	839494	شبکه ریز	
6220143	1513485	شبکه خیلی ریز	



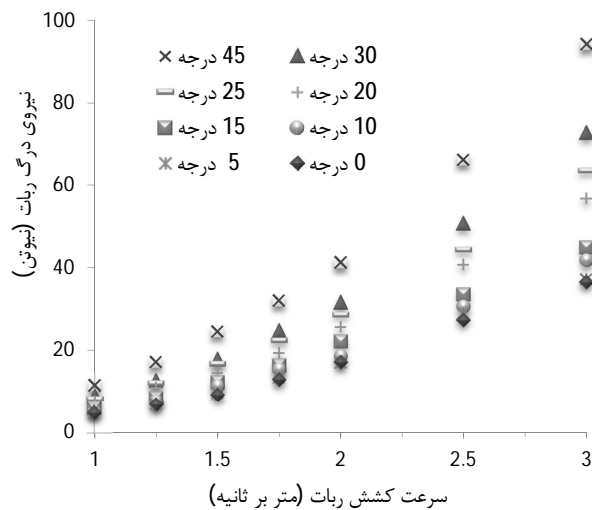
شکل 11 موقعیت خط انتخاب شده جهت ترسیم توزیع فشار



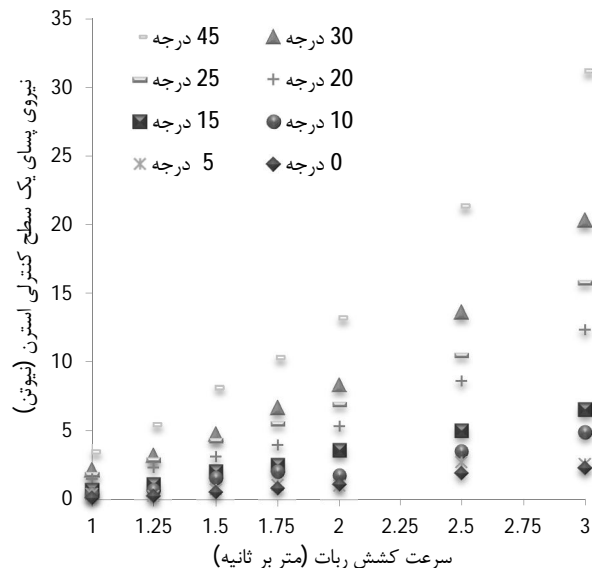
شکل 12 توزیع ضریب فشار بروی خط مورد نظر در سرعت 1/5 متر بر ثانیه

1- Prism

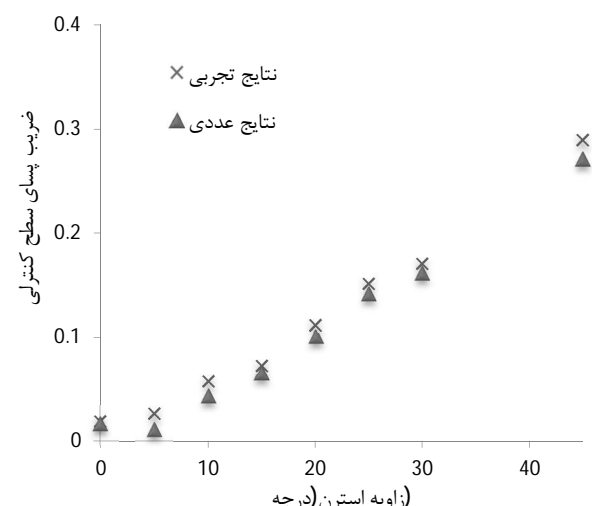
2- Expansion Factor



شکل 13 تغییرات نیروی پسای وارد بر ربات نسبت به تغییرات سرعت کشش برای زوایای استرن مختلف به روشن تجربی



شکل 14 تغییرات نیروی پسای وارد بر یک سطح کنترلی استرن نسبت به تغییرات سرعت کشش برای زوایای استرن مختلف به روشن تجربی



شکل 15 تغییرات ضریب پسای سطح کنترلی استرن نسبت به تغییرات زاویه استرن در سرعت 1/5 متر بر ثانیه به روشن تجربی و عددی

همانطور که در این شکل مشاهده می‌شود با ریز شدن شبکه ضریب فشار برروی خط مذکور افزایش پیدا می‌کند و این روند در حالتی که شبکه ریز است تقریباً به حالت ثابت رسیده است و توزیع ضریب فشار در این حالت تقریباً با توزیع فشار شبکه بسیار ریز مطابقت دارد، لذا جهت صرفه جویی در زمان و هزینه‌های محاسباتی از شبکه ریز به عنوان شبکه مناسب جهت تحلیل عددی استفاده می‌شود.

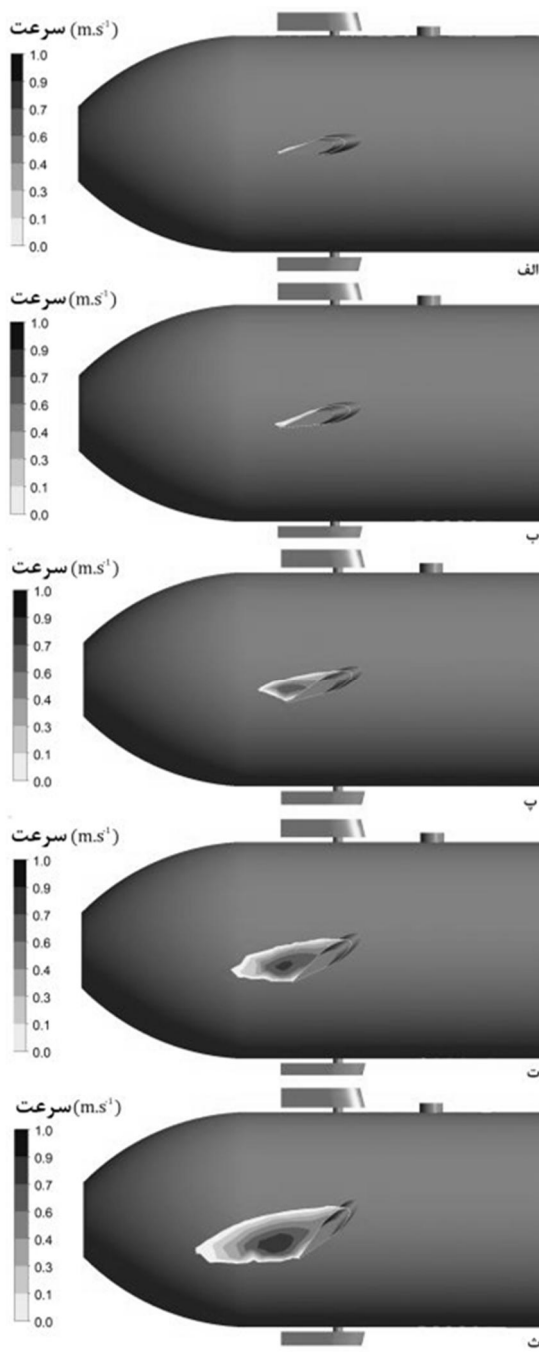
پس از اعمال شرایط مرزی و شرایط اولیه، مسائل مورد نظر توسط حلگر CFX یک پردازنده 4 هسته‌ای 8 رشتہ‌ای با قدرت 3/02 گیگا هرتز و استفاده از قابلیت موافق‌سازی نرم افزار حل می‌شود. حداکثر تعداد تکرار حلچه داخلی برای همگرایی معادلات در مسائل گذرا در هر بازه زمانی، 20 تکرار در نظر گرفته شده است. در هر گام زمانی نیز معادلات جریان تا مرتبه ۱۰<sup>۶</sup> همگرا می‌شوند.

## 6- نتایج تجربی و عددی

در ارتباط با آزمون‌های کشش باقیستی مذکور شد که مطابق با شکل 3 در هریک از آزمون‌ها باقیستی زاویه دو سطح کنترلی افقی هم‌زمان تغییر کند. نتایج مربوط به این آزمون‌ها در شکل 13 ارائه شده است. در ارتباط با این آزمون‌ها سعی برآن است که اثر تغییر زاویه استرن ( $\beta$ ) بر نیروی پسای وارد بر ربات و نهایتاً نیروی پسای وارد بر یک سطح کنترلی افقی در سرعت‌ها و زوایای مختلف موردن بررسی قرار گیرد. به طوری که در شکل 13 مشاهده می‌شود، همانگونه که انتظار میرفت، در هر زاویه استرن، با افزایش سرعت کشش، نیروی پسای وارد بر ربات افزایش یافته است. بطور مشابه در هر سرعت کشش، با افزایش زاویه استرن، نیروی درگ وارد بر یک سطح کنترلی را در سرعت‌ها و می‌کند. از طرفی می‌توان درگ وارد بر یک سطح کنترلی را در سرعت‌ها و زوایای استرن مختلف بدست آورد. نتایج این تحلیل در شکل 14 ارائه شده است. به طوری که مشاهده می‌شود در یک زاویه استرن مشخص، با افزایش سرعت، نیروی پسای افزایش یافته است. این افزایش، در زوایای بالاتر با شیب تندتری پدیدار می‌شود. در اینجا توجه به این نکته الزامیست که نیروهای پسای حاصله در شکل 14، نیروی پسای یک سطح کنترلی متصل بر روی ربات است. لذا نتایج ارائه شده فوق شامل اثرات جریان اطراف بدنه ربات نیز می‌باشد و طبعاً با نتایج حاصل از انجام آزمایش ببروی همان سطح کنترلی بهصورت مستقل در تونل باد متفاوت است. با توجه به اینکه شناور ساخته شده در پژوهشکده با اضافه شدن تجهیزات جدید به آن در مععرض تغییرات زیادی در هندسه آن خواهد بود، در صورتی که به این نتیجه رسیده شود که نتایج عددی مطابقت خوبی با نتایج تجربی دارد، میتوان بجای آزمون‌های پر هزینه تجربی از شبیه سازی عددی جهت کسب نتایج موردنظر استفاده نمود. جهت بررسی تطابق نتایج عددی و نتایج تجربی، شبیه سازی عددی در سرعت 1/5 متر بر ثانیه انجام و با نتایج تجربی موجود مقایسه می‌شود. ضریب پسای یک سطح کنترلی با استفاده از رابطه (6) قبل محاسبه است.

$$(6) \quad C_{d\ fin} = \frac{F_{fin}}{0.5\rho A_{fin} u^2}$$

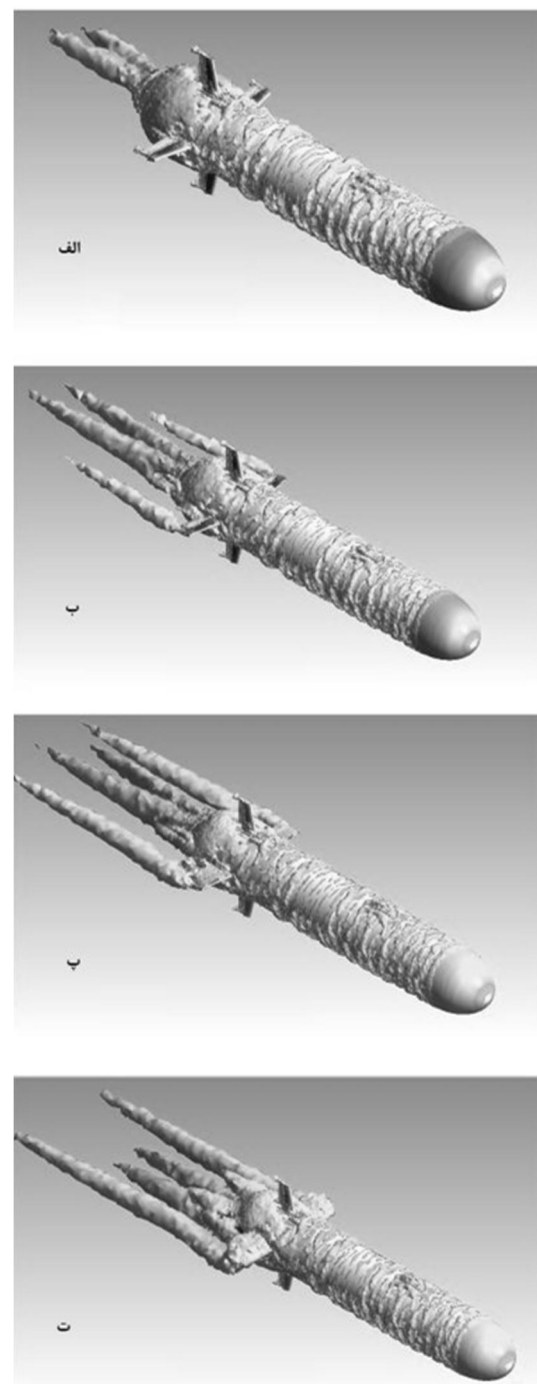
در این رابطه  $F_{fin}$  نیروی پسای وارد بر یک سطح کنترلی،  $A_{fin}$  سطح مقطع سطح کنترلی و  $u$  سرعت جریان سیال و یا سرعت کشش مدل درون حوضچه می‌باشد. نتایج تجربی و عددی حاصله در شکل 15 ارائه شده است. همانطور که انتظار می‌رفت با افزایش زاویه استرن، ضریب پسای سطح کنترلی افزایش پیدا می‌کند که علت آن افزایش سطح در مقابل جریان است. از سوی دیگر با افزایش زاویه استرن، اختلاف فشار بین ناحیه پرفشار جلو و ناحیه کم فشار در پشت سطح کنترلی بیشتر شده و این باعث افزایش ضریب پسای آن خواهد شد.



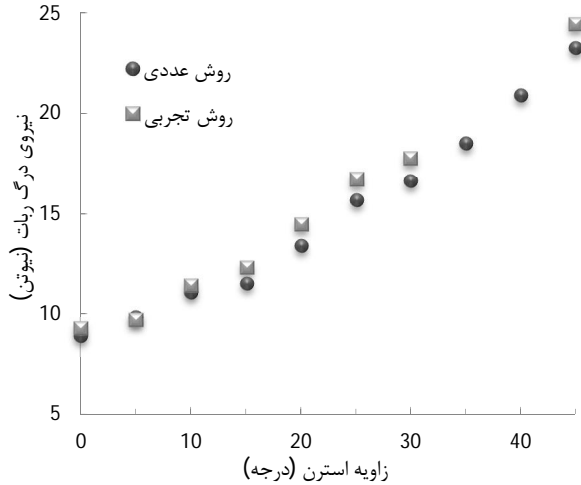
شکل 17 ناحیه جریان بازگشتی در پشت سطح کنترلی در سرعت 1/5 متر بر ثانیه در زوایای استرن: (الف) 5 درجه، (ب) 15 درجه، (پ) 25 درجه، (ت) 35 درجه، (ث) 45 درجه.

از سوی دیگر با افزایش زاویه استرن، تقارن خطوط جریان در پشت سطوح کنترلی افقی به هم خورده و جریان دچار بازگشت می‌شود. در شکل 17 کانتورهای توزیع سرعت جریان بازگشتی در پشت سطح کنترلی در زوایای استرن مختلف در سرعت 1/5 متر بر ثانیه ارائه شده است. همانطور که در این شکل مشخص است، در زاویه استرن 5 درجه وسعت ناحیه بازگشتی به ناحیه کوچکی در لبه فرار سطح کنترلی محدود می‌شود. با افزایش زاویه استرن، ناحیه بازگشتی وسیع‌تر شده و به سمت لبه حمله سطح کنترلی حرکت می‌کند. به عبارت بهتر با افزایش زاویه استرن نقطه جدایش جریان در پشت سطح کنترلی به سمت لبه حمله جابجا می‌شود. کنترل لایه مرزی تشکیل شده بروی هیدروفولیل‌ها جهت افزایش

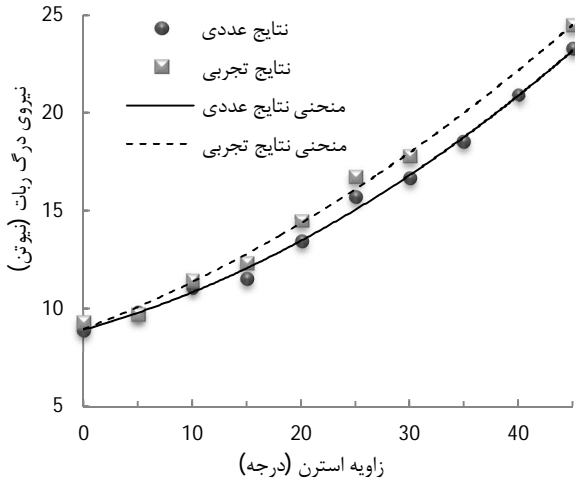
تغییر در زاویه استرن باعث تغییر در شکل گردابه‌های ایجاد شده در پشت ربات نیز می‌شود. در شکل 16 نمایی از گردابه‌های تولید شده در پشت ربات و اثر زاویه استرن بر وسعت آنها در سرعت 1/5 متر بر ثانیه نشان داده شده است. همانطور که مشاهده می‌شود، در شرایطی که زاویه استرن صفر درجه است، شکل گیری گردابه‌ها صرفاً به ناحیه کم فشار اینکه در پشت سطح کنترلی محدود می‌شود. با افزایش زاویه استرن، بواسطه اینکه گردابه‌ها فراهم می‌شود، هرچه زاویه استرن افزایش پیدا می‌کند وسعت ناحیه کم فشار بیشتر شده و این باعث تولید گردابه‌های بزرگ‌تر خواهد شد.



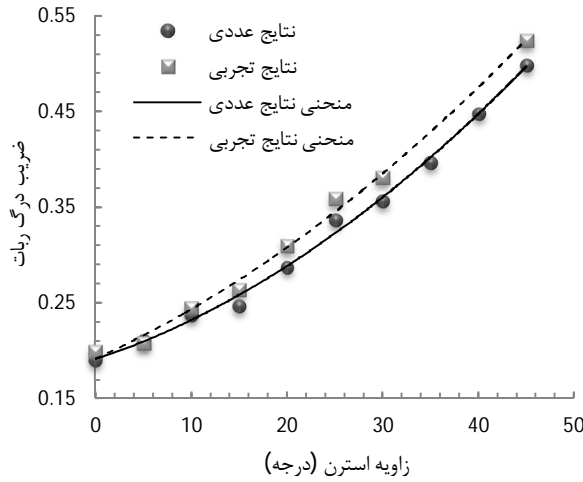
شکل 16 شکل گیری ساختارهای گردابه‌ای در پشت ربات در سرعت 1/5 متر بر ثانیه در زوایای استرن مختلف: (الف) 0 درجه، (ب) 10 درجه، (پ) 20 درجه، (ت) 45 درجه



شکل 18 مقایسه تغییرات نیروی درگ ربات نسبت به تغییرات زاویه استرن در سرعت ۱/۵ متر بر ثانیه حاصل از روش های تجربی و عددی



شکل 19 تغییرات نیروی درگ ربات نسبت به تغییرات زاویه استرن در سرعت ۱/۵ متر بر ثانیه حاصل از روش های تجربی و عددی و منحنی های تقریبی آنها



شکل 20 تغییرات نیروی درگ ربات نسبت به تغییرات زاویه استرن در سرعت ۱/۵ متر بر ثانیه حاصل از روش های تجربی و عددی و منحنی های تقریبی آنها

جدول 4 مقادیر عددی و تجربی ضریب هیدرودینامیکی  $X_{\beta\beta}$

ضریب هیدرودینامیک	مقادیر تجربی	واحد	مقادیر عددی
0/0072	0/006	kg.m.s <sup>-2</sup> .rad <sup>2</sup>	$X_{\beta\beta}$

ضریب برا و کاهش ضریب پسا، یکی از روش های مهم در بهبود عملکرد هیدروفویل ها است. یکی از راه های کنترل لایه مرزی، دمش و مکش سیال از سطح هیدروفویل است که به کمک آن می توان توزیع فشار و نیز حجم گردابه های موجود در ناحیه جدایش را تغییر داد [24]. آنچه که در تحلیل سطوح کنترلی حائز اهمیت می باشد، نیروی وارد بر سطح کنترلی براثر تغییرات زاویه آن است.

تغییر در زاویه حمله یک سطح کنترلی نه تنها باعث وارد شدن یک نیرو به خود آن می شود بلکه بعلت وارد شدن نیروی برا آن و فاصله نقطه اثر این نیرو از مرکز شناوری وسیله، باعث تولید گشتاور برای ربات می شود و اتفاقاً وجود همین خاصیت است که لزوم استفاده از سطوح کنترلی را برای هدایت و مانور پذیری ربات توجیه می کند.

## 7- اعتبار سنجی روش

با شبیه سازی مجموعه آزمون های انجام شده در سرعت کارکرد ربات یعنی ۱/۵ متر بر ثانیه، مقدار نیروی پسای وارد بر ربات در برگیرنده از زوابای استرن استخراج و با نتایج تجربی در شکل 18 مقایسه شده است. اختلاف موجود بین نتایج عددی و تجربی به دلایل مختلف ظاهر می شود. اولاً نتایج عددی با توجه به شرایط مرزی شبیه سازی حرکت AUV در یک جریان تک فازی شامل سیال آب در یک محیط بینهایت انجام شده است. بنابراین اثرات امواج سطحی بوجود آمده در اثر حرکت آن که در آزمون های تجربی کما بیش وجود دارد و نیز اثرات دیواره های حوضچه کشش شبیه سازی نشده است. ثانیاً در شبیه سازی عددی، استروت ها و اثر آن بر جریان اطراف بدنه AUV دیده نشده است. علاوه بر آن خطاهای موجود در آزمون های تجربی و تقریب های عددی بکار رفته در مدل کردن جریان به صورت عددی باعث بوجود آمدن اختلاف در نتایج عددی و تجربی می شود. با این وجود بیشترین اختلاف بین نتایج تجربی و عددی در حدود ۷ درصد و در زاویه استرن ۲۰ درجه رخ داده است. با توجه به شکل 18 مشاهده می شود که با افزایش زاویه استرن، سطحی از ربات که در مقابل جریان قرار می گیرد افزایش پیدا کرده و باعث افزایش نیروی پسای وارد بر ربات شده است.

## 8- نتیجه گیری و جمع بندی

در کار حاضر اثر تغییر زاویه سطوح کنترلی افقی (زاویه استرن) بر میزان نیروی پسای وارد بر ربات هوشمند زیرآبی پژوهشکده علوم و فناوری زیر دریا به روش تجربی و شبیه سازی عددی مورد مطالعه قرار گرفت. هر دو روش افزایش نیروی پسای وارد بر ربات را در حین تغییر زاویه سطوح کنترلی تصدیق می کنند. مقایسه نتایج تجربی و عددی کوچکتر از مقادیر حاصل از تست های آزمایشگاهی است که علت آن ناشی از شبیه سازی تست های آزمایشگاهی بدون در نظر گرفتن پارامترهایی نظیر اثر متقابل استروت ها و بدنه و نیز اثر امواج سطحی است. اثر تغییر زاویه استرن بر ساختار جریان سیال در پشت ربات و همچنین شکل گیری جریان های بازگشته در پشت سطوح کنترلی افقی بررسی و توسط کانتورهای مناسب تشریح شد.

با در نظر گرفتن  $X$  بعنوان نیروی پسای وارد بر ربات در راستای  $x$  و استفاده از شکل 18 میتوان تغییرات نیروی پسای وارد بر ربات را نسبت به زاویه استرن به صورت یک تابع درجه دو تقریب زد.

این تغییرات به صورت تابع  $X = 0.003(\beta)^2 + 0.21(\beta) + 8.94$  به روش تجربی و  $X = 0.0036(\beta)^2 + 0.156(\beta) + 8.9$  به روش عددی حاصل می شود.

## علایم یونانی

$\beta$  زاویه حمله سطح کنترلی افقی یا زاویه استرن (deg)

$\delta$  ضخامت لایه مرزی (m)

$\rho$  چگالی ( $\text{kgm}^{-3}$ )

$v$  لزجت سینماتیکی ( $\text{m}^2\text{s}^{-1}$ )

بالاترین‌ها

- کمیت متوسط گیری شده

زیرنویس‌ها

ref کمیت مرجع

fin سطح کنترلی

## - مراجع

- [1] M. R. Dhanak, K. Holappa, An Autonomous Ocean Turbulence Measurement Platform, *Journal of Atmospheric and Ocean Technology*, Vol. 16, pp. 1506-1518, 1999.
- [2] P. E. An, S. M. Smith, An Experimental Data Base of Ocean Explore AUV for Self-Motion Controlled Study in *IEEE Transactions on Oceanic Engineering* 1998, pp. 174-285.
- [3] S. M. Smith, S. E. Dunn, T. L. Hopkins, K. Heeb, T. Pantelakis, The Application of a Modular AUV to Coastal Oceanography in *Proceeding of IEEE Ocean 95 Conference*, San Diego: 1423-1432, 1995
- [4] T. Curtin, The Autonomous Oceanographic Sampling Network, in *Proceeding of Oceanography International 98 Conference*, Brighton, UK: 1-16, 1998.
- [5] S. F. Hoerner, *Fluid Dynamic Drag*, USA: Published by author, 1965.
- [6] R. Burcher, L. Rydill, *Concepts in Submarine Design*, UK: press Syndicate of the University of Cambridge, 1994.
- [7] C. Aage, L. W. Smit, Hydrodynamic maneuverability data of a flatfish type AUV, in *Proceeding of IEEE Oceans Engineering for Today's Technology and Tomorrow's Preservation*, 425-430, 1994.
- [8] E. Javanmard, *Determination of Hydrodynamic Coefficients of an AUV with Computational Fluid Dynamics and Experimental Fluid Dynamics Methods*, Master of Science Thesis, Department of Mechanical Engineering, Isfahan University of Technology, 2013.(In persian)
- [9] K. Rhee, H. K. Yoon, T. J. Sung, S. H. Kim, J. N. Kang, *An Experimental Study on Hydrodynamic Coefficients of Submerged Body Using Planar Motion Mechanism and Coning Motion Device*, International Workshop on Ship Manoeuvrability at the Hamburg Ship Model Basin, pp. 1-20, 2000.
- [10] M. Gerfler, *The DTMB Planar-Motion-Mrchan ISM System*, Naval Ship Research And Development Center, 1967.
- [11] P. Jagadeesh, K. Murali, V. G. Idichandy, Experimental investigation of hydrodynamic force coefficients over AUV hull form, *Ocean Engineering*, Vol. 36, pp. 113-118, 2009.
- [12] P. Ridley, J. Fontan, P. Corke, Submarine dynamic modelling, in *Proceeding of Australian Conference Robotics and Automation*, Brisbane, 2003.
- [13] S. K. Lee, T. H. Joung, S. J. Cheon, T. S. Jang, J. H. Lee, Evaluation of the added mass for a spheroid-type unmanned underwater vehicle by vertical planar motion mechanism test, *Ocean Engineering*, Vol. 3, pp. 174-180, 2011.
- [14] A. Phillips, M. Furlong, S. R. Turnock, *The use of Computational Fluid Dynamics to Determine the Dynamic Stability of an Autonomous Underwater Vehicle*, National Oceanography Centre, 2009.
- [15] A. Phillips, M. Furlong, S. R. Turnock, The use of computational fluid dynamics to aid cost-effective hydrodynamic design of autonomous underwater vehicles, *Engineering for the Maritime Environment*, Vol. 224, pp. 239-254, 2010.
- [16] N. Sakamoto, *URANS , DES Simulations of Static and Dynamic Maneuvering for Surface Combatant*, Ph.D Thesis, University of Iowa, USA, 2009.
- [17] S. Tang, T. Ura, T. Nakatani, B. Thornton, T. Jiang, Estimation of the Hydrodynamic Coefficients of the Complex-Shaped Autonomous Underwater Vehicle TUNA-SAND, *J Mar Sci Technol*, Vol. 14, pp. 373-386, 2009.
- [18] B. Ferreira, M. Pinto, A. Matos, N. Cruz, Hydrodynamic modeling and motion limits of auv mares, in *Proceeding of 35th Annual Conference of IEEE*, 2241-2246, 2009.
- [19] T. Prester, *Verification of a Six-Degree of Freedom Simulation Model for the REMUS Autonomous Underwater Vehicle*, Master of Science Thesis, Mechanical Engineering, Mechanical Engineering, 2001.
- [20] F. M. White, *Fluid Mechanics*, Fourth ed., University of Rhode Island, 1985.
- [21] ANSYS, *Ansys-cfx solver modeling guide*, USA, 2009.
- [22] M. Jahanmiri, A. Omidvar, M. K. Koopaei, A comparative study of turbulence models performance in predicting the frequency of naturally-excited oscillating jet flows, *Modares Mechanical Engineering*, Vol. 13, No. 2, pp. 1-11, 2013. (In persian)
- [23] F. M. White, *Viscous Fluid Flow*, Third ed., University of Rhode Island, 2006.
- [24] P. Akbarzadeh, I. Mirzaee, M. H. Kayhani, E. Akbarzadeh, Blowing and suction effect on drag and lift coefficients for viscous incompressible flows over hydrofoils by power-low preconditioning method, *Modares Mechanical Engineering*, Vol. 14, No. 4, pp. 129-140, 2013. (In Persian)

در شکل 19 این دو منحنی تقریبی نمایش داده شده است. بنابراین می‌توان یکی از ضرائب هیدرودینامیکی وابسته به سطح کنترلی را در حالت غیر خطی و با استفاده از مفهوم مشتقات هیدرودینامیکی استخراج کرد. این روند در رابطه (7) نشان داده شده است.

$$X_{\beta\beta} = \frac{\partial}{\partial \beta} \left( \frac{\partial X}{\partial \beta} \right) = \frac{\partial^2 X}{\partial \beta^2} \quad (7)$$

بنابراین می‌توان با استفاده از دو منحنی حاصله در شکل 19 و استفاده از رابطه (7)، ضریب هیدرودینامیکی  $X_{\beta\beta}$  را به دو روش تجربی و عددی استخراج نمود. مقادیر حاصله برای این ضریب در جدول 4 ارائه شده است.

در شکل 20 تغییرات ضریب نیروی پسای ربات نسبت به زاویه استرن نشان داده شده است. نتایج بدست آمده به دو روش تجربی و عددی دارای انطباق قابل قبولی می‌باشد. همانطور که در این شکل نشان داده شده است، ضریب پسای ربات با افزایش زاویه استرن افزایش پیدا می‌کند. مشابه شکل 19 میتوان این تغییرات را بوسیله یکتابع درجه دوم تقریب زد. این تغییرات به صورت تابع  $C_d = 0.00006(\beta)^2 + 0.0045(\beta) + 0.1917$  به روشنی  $C_d = 0.00008(\beta)^2 + 0.0033(\beta) + 0.1909$  و  $C_d = 0.00008(\beta)^2 + 0.0033(\beta) + 0.1909$  به روشنی عددی حاصل می‌شود. با توجه به شکل 20 ضریب درگ ربات در زاویه استرن 45 درجه در حدود 0/52 و در زاویه استرن صفر درجه در حدود 0/19 است. یعنی ضریب درگ ربات با تغییر زاویه استرن از صفر به 45 درجه در حدود 174 درصد افزایش یافته است. با توجه به اینکه بیشتر AUV های که شکل کلی آنها شبیه این AUV است نیز رفتاری نسبتاً مشابه دارند، جهت انتخاب تراستر و موتور محرك و باتری‌ها و .... می‌توان تا حد زیادی از نتایج این تحقیق به صورت کیفی استفاده نمود.

نتایج حاصل از مطالعات تجربی و عددی نشان داد که میتوان با تقریب نسبتاً خوبی، در محدوده سرعت‌های بررسی شده در این تحقیق، بجای روش‌های تجربی از روش‌های عددی جهت حصول به نتایج دلخواه استفاده نمود.

## 9- فهرست علامت

A سطح مقطع عرضی مدل ( $\text{m}^2$ )

$A_{\text{fin}}$  سطح مقطع سطح کنترلی ( $\text{m}^2$ )

$c_d$  ضریب نیروی پسای بر مدل

$c_{d \text{ fin}}$  ضریب نیروی پسای سطح کنترلی

$C_p$  ضریب فشار

D قطر مدل ( $\text{m}$ )

$f_i$  مولقه  $i$  ام بردار نیروی خارجی بر واحد جرم ( $\text{ms}^{-2}$ )

$F_{\text{fin}}$  نیروی پسای وارد بر سطح کنترلی ( $\text{kgms}^{-2}$ )

$L$  طول مدل ( $\text{m}$ )

P فشار ( $\text{kgm}^{-1}\text{s}^{-2}$ )

$P_{\text{ref}}$  فشار مرجع ( $\text{kgm}^{-1}\text{s}^{-2}$ )

Re عدد رینولدز

$t$  زمان ( $\text{s}$ )

$\overline{U}_i \overline{U}_j$  تاسورتنش های رینولدز ( $\text{m}^{-2}\text{s}^{-2}$ )

$U_i$  مولقه  $i$  ام بردار سرعت در میدان جریان کارتزین ( $\text{ms}^{-1}$ )

$U_{\text{ref}}$  سرعت مرجع ( $\text{ms}^{-1}$ )

$v$  سرعت کشش مدل در حوضچه ( $\text{ms}^{-1}$ )

$x_i$  مشخصه  $i$  ام دستگاه مختصات کارتزین ( $\text{m}$ )

$X$  نیروی پسای محوری وارد بر مدل ( $\text{kgms}^{-2}$ )

$y^+$  ضخامت بدون بعد اولین المان روی سطح مدل

$y^*$  مشخصه عرضی بدون بعد

$\Delta y$  ضخامت اولین المان روی سطح مدل ( $\text{m}$ )